

УДК 539.374 : 534.28

## СКОРОСТНАЯ ЧУВСТВИТЕЛЬНОСТЬ РЕЛАКСАЦИИ НАПРЯЖЕНИЙ В МОНОКРИСТАЛЛАХ NaCl

*A. A. Урусовская, A. M. Петченко, B. I. Мозговой*

Приводятся результаты исследований влияния скорости деформации на параметры пластической деформации монокристаллов NaCl. Обнаружен эффект нулевой релаксации напряжений, зависящий от скорости и степени деформации, что объясняется существованием критической скорости деформации, ниже которой уровень внутренних напряжений оказывается равным приложенному напряжению. Одновременно с механической релаксацией проводились исследования затухания высокочастотного ультразвука. Предварительные измерения показали, что при нулевой релаксации напряжений имеет место процесс перестройки дислокационной структуры.

Исследование физических свойств материалов от скорости деформации в последнее время посвящено большое количество работ, однако в большинстве из них рассматриваются вопросы влияния скорости деформации на предел текучести [1-5], деформационное старение [6] и т. д. Влияние скорости деформации на релаксацию механических напряжений практически не изучено. Подобные исследования представляют интерес с точки зрения выяснения природы процессов, происходящих при релаксации напряжений. Следует отметить, что в настоящее время метод релаксации напряжений широко используется в физике пластичности твердых тел для оценки внутренних напряжений [7], проведения термоактивационного анализа пластичности кристаллов [5], нахождения параметров подвижности отдельных дислокаций из кривых релаксации напряжений [8]. Отсюда очевидна важность исследования механизма процесса релаксации напряжений. В этой связи следует отметить работу Н. К. Раковой и А. А. Предводителева [9] о прямом наблюдении движения дислокаций в процессе релаксации.

Целью настоящей работы является изучение влияния скорости предварительной деформации на глубину релаксации напряжений в монокристаллах NaCl разной жесткости.

В качестве объекта исследования использовались монокристаллы хлористого натрия двух типов с суммарным содержанием примесей  $3 \cdot 10^{-4}$  вес. % (тип I) и с примесью стронция  $8 \cdot 10^{-4}$  вес. % (тип II). Отжиг кристаллов проводили при температуре 600 °C в течение 6 ч с последующим охлаждением до комнатной температуры со скоростью 10 град/ч. Плотность дислокаций после отжига составляла  $(1 \div 3.5) \cdot 10^4$  см<sup>-2</sup> для монокристаллов типа I и  $(3 \div 6) \cdot 10^5$  см<sup>-2</sup> для монокристаллов типа II. Ориентированы образцы вдоль направления <100>. Все эксперименты проводились на воздухе при комнатной температуре на образцах размером  $10 \times 10 \times 30$  мм. Деформировались образцы сжатием в условиях активного нагружения в интервале скоростей  $\dot{\epsilon} = 5 \cdot 10^{-6} \div 1 \cdot 10^{-2}$  с<sup>-1</sup> до разной степени деформации  $\epsilon$  от 0 до 2 %.

Изучение кривых релаксации напряжений было дополнено исследованиями высокочастотного ультразвукового затухания для выяснения кинетики изменения параметров дислокационной структуры: плотности дислокаций и длины дислокационной петли. Измерения затухания  $\alpha$

продольных волн проводились на частоте 7.5 МГц на установке, описанной в работе [10]. Установка позволяет проводить измерения затухания ультразвука в автоматическом режиме, а также параллельно вести автоматическую запись деформационной кривой  $\tau$  ( $\epsilon$ ) и релаксации напряжений  $\tau$  ( $t$ ). Направление прозвучивания образцов всегда совпадало с направлением их сжатия.

Проведены измерения предела текучести  $\tau_0$  и глубины релаксации напряжений  $\Delta\tau$  (при постоянной суммарной деформации) в зависимости от  $\dot{\epsilon}$ . С увеличением скорости деформации предел текучести (рис. 1) и глубина релаксации [11] возрастают. Характерной особенностью скоростной зависимости предела текучести является наличие излома на кривых 1, 2 (рис. 1) при определенной  $\dot{\epsilon}$ , одинаковой для мягкого и жесткого кристаллов. В точке излома каждая из кривых разделяется на два участка,

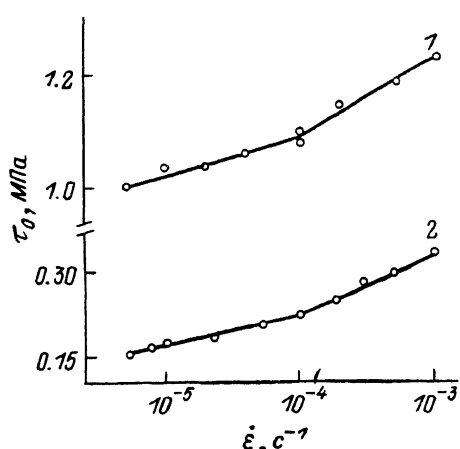


Рис. 1. Скоростная зависимость предела текучести NaCl типа II (1) и NaCl типа I (2).

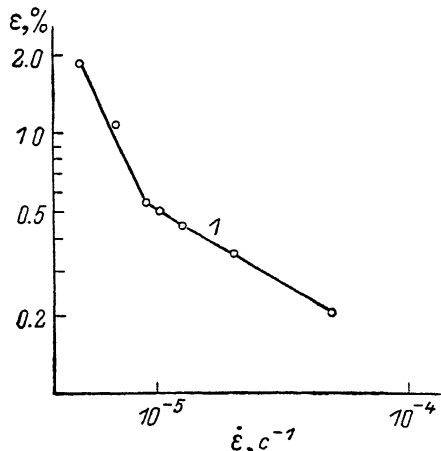


Рис. 2. Влияние скорости деформирования на степень деформации, при которой уравновешиваются внешние и внутренние напряжения в монокристаллах типа I.

отличающихся различными углами наклона. Причем указанное разделение для жесткого кристалла проявляется более четко, чем для мягкого.

В работе [11] было изучено изменение глубины релаксации напряжений после 2 % деформации с разными скоростями для монокристаллов типа I. По мере снижения скорости уменьшается глубина релаксации напряжений  $\Delta\tau$ , и при  $\dot{\epsilon} \leq 1 \cdot 10^{-5} \cdot \text{с}^{-1}$  начальный участок кривых релаксации с быстрым спадом напряжений вообще не появляется. В этих случаях наблюдается ступенчатый спад уровня кривых релаксации, а при  $\dot{\epsilon} \leq 5 \cdot 10^{-6} \cdot \text{с}^{-1}$  релаксация напряжений отсутствует.

Исследования монокристаллов типа II показали, что глубина релаксации также зависит от  $\dot{\epsilon}$ , но отсутствие релаксации в исследуемом интервале скоростей не наблюдалось.

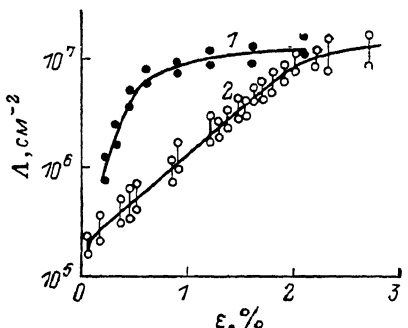
Эффект нулевой релаксации зависит не только от скорости и жесткости кристалла, но и от степени предварительной деформации. На рис. 2 показана зависимость степени предварительной деформации  $\epsilon$  от  $\dot{\epsilon}$ , при которой отсутствует релаксация напряжений. Заметим, что на рис. 2 отложена полная деформация при нагружении образца, а релаксация напряжений изучалась при напряжениях выше предела текучести. Из рис. 2 видно, что для кристаллов типа I имеется скорость, при которой на кривой наблюдается излом.

Для того чтобы понять причину разного наклона зависимости  $\epsilon$  ( $\dot{\epsilon}$ ) при нулевой релаксации для малых и больших скоростей, представлялось интересным сопоставить эти зависимости с изменением плотности дислокаций от деформации при различных скоростях нагружения (рис. 3).

Плотность дислокаций  $\Lambda$  определялась методом избирательного травления после разгрузки образцов. Травление выполняли на двух взаимно перпендикулярных плоскостях, что позволяло контролировать изменение плотности дислокаций в каждой плоскости скольжения. Для определения плотности дислокаций на каждом образце фотографировали не менее 30 полей. Разброс значений, имеющийся в пределах одного образца, показан на рис. 3.

С увеличением степени деформации дислокационная структура равномерно уплотнялась (рис. 4,  $a-d$ ). Скольжение в образце сначала шло преимущественно в одной плоскости и лишь при  $\varepsilon \sim 1.0\%$  начинало активно идти и по другой плоскости. На рис. 4, б, в приведены фотографии двух плоскостей одного и того же образца. Полосы скольжения не наблюдались, и лишь при плотности дислокаций  $\Lambda > 1 \cdot 10^7 \text{ см}^{-2}$  начинали просматриваться отдельные слабые полосы скольжения. Из рис. 3 видно, что ход кривой  $\Lambda(\varepsilon)$  существенно зависит от скорости нагружения образца. В случае больших скоростей (кривая 1) плотность дислокаций быстро нарастает и выходит на насыщение при деформациях порядка 1 %. При малых скоростях нагружения (кривая 2) участок линейной зависимости становится более пологим и простирается вплоть до деформаций порядка 2 %, после чего наблюдается переход в область слабой зависимости  $\Lambda(\varepsilon)$ .

Рис. 3. Зависимость плотности дислокаций  $\Lambda$  от остаточной деформации для монокристаллов типа I при скоростях деформации  $\dot{\varepsilon} = 10^{-4}$  и  $10^{-3}$  (1),  $5 \cdot 10^{-6} \text{ с}^{-1}$  (2).



Варьируя скорость нагружения, можно получить одинаковую величину  $\Lambda$  при различных степенях деформации кристаллов. Анализируя данные рис. 2, 3, можно заключить, что получение высокого уровня плотности дислокаций не является критерием начала процесса релаксации напряжений.

Из рис. 2 видно, что уже при небольших  $\Lambda$ , но полученных в условиях быстрого нагружения образца, начинает наблюдаться релаксация напряжений. В то же время для обеспечения ее начала в условиях малых  $\dot{\varepsilon}$  требуется создание  $\Lambda$  значительно большей величины. Более показательной в этом смысле является крутизна линейного участка кривой  $\Lambda(\varepsilon)$  на рис. 3. Чем быстрее нарастает  $\Lambda$  с деформацией, тем при меньших значениях предварительной деформации проявится релаксация напряжений.

Наряду с проведением микроструктурных исследований представлялось важным изучение кинетики изменения дислокационной структуры в процессе нагружения и последующей релаксации напряжений. С этой целью измерялся коэффициент затухания ультразвука  $\alpha$ , который, как известно, является весьма чувствительным параметром к перестройке дислокационной структуры. Если рассмотреть уравнение, связывающее затухание с плотностью дислокаций  $\Lambda$  и длиной петли  $L$ , то мы увидим, что  $\alpha \sim \Lambda L^4$  [12]. Отсюда видно, что даже незначительные изменения параметра  $L$  могут привести к существенному изменению  $\alpha$ . Так, при ультразвуковых измерениях было установлено, что, несмотря на отсутствие релаксации напряжений, наблюдается возврат затухания ультразвука. Это, по-видимому, указывает на наличие в кристалле легкоподвижных дислокаций, которые со временем аннигилируют и закрепляются атомами примесей.

Таким образом, исследование скоростной чувствительности релаксации напряжений обнаружило существование критической скорости де-

формации, при которой отсутствует релаксация напряжений. При этой скорости происходит выравнивание среднего уровня внутренних напряжений с внешними за счет перестройки дислокационной структуры еще в процессе деформации. Однако по изменению одних макроскопических

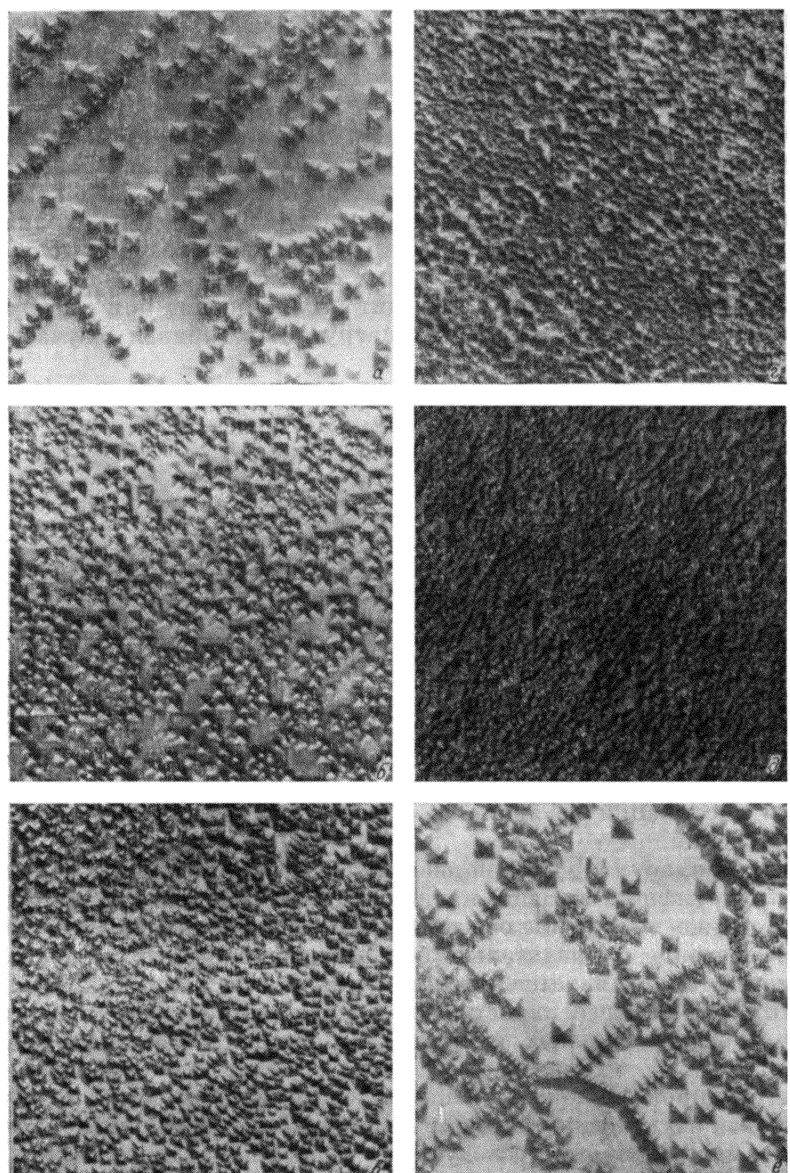


Рис. 4. Характерные картины дислокационной структуры монокристаллов типа I при  $\dot{\epsilon} = 5 \cdot 10^{-6}$  с<sup>-1</sup>.

$\epsilon(\%)$ ,  $\Delta (\text{см}^{-2})$ : а — 0.6,  $7 \cdot 10^6$ ; б — 1.3,  $2.7 \cdot 10^6$ ; в — 1.6,  $4.5 \cdot 10^6$ ; г — 2.0,  $1 \cdot 10^7$ ; д — 2.4,  $1.5 \cdot 10^7$ ; е — 1.3,  $8 \cdot 10^6$ .

характеристик нельзя судить об окончании процесса перестройки дислокационной структуры. Как показали ультразвуковые измерения, хотя и носившие пока предварительный характер, необходимо иметь сведения о динамике изменения микроскопических параметров  $\Lambda$  и  $L$ , которые могут существенно дополнить результаты макроскопических исследований.

Авторы выражают искреннюю признательность Л. М. Сойферу за предоставленные кристаллы.

### Л и т е р а т у р а

- [1] Qian K. W., Reed-Hill R. E. // Acta Met. 1983. V. 31. N 1. P. 87—94.
- [2] Ackermann F., Mughrabi H., Seeger A. // Acta Met. 1983. V. 31. N 9. P. 1353—1366.
- [3] Бадиян Е. Е., Бахарев С. А., Тонкопряд А. Г. // Укр. физ. журн. 1983. Т. 28. № 11. С. 1715—1718.
- [4] Feldman L., Zihlif A. M., Farris R. J., Thomas E. L. // J. Mater. Sci. 1987. V. 22. N 4. P. 1199—1205.
- [5] Доценко В. И., Ландau А. И., Пустовалов В. В. Современные проблемы низкотемпературной пластичности материалов. Киев, 1987. 162 с.
- [6] Povolo F., Rubiolo G. H. // J. Mater. Sci. Lett. 1987. V. 6. N 6. P. 666—668.
- [7] Эстрип Ю. З., Урусовская А. А., Кнаб Г. Г. // Кристаллография. 1972. Т. 17. № 1. С. 176—183.
- [8] Urusovskaya A. A., Knab G. G., Estrin Yu. Z. // Phys. St. Sol. (a), 1976. V. 36. N 1. P. 387—402.
- [9] Ракова Н. К., Предводителев А. А. // ФТТ. 1965. Т. 7. № 4. С. 1081—1085.
- [10] Петченко А. М., Строилова Д. Л., Мозговой В. И. // Синтез и исследование оптических материалов. Харьков, 1987. № 19. С. 133—139.
- [11] Урусовская А. А., Мозговой В. И., Петченко А. М. // Письма в ЖТФ. 1988. Т. 14. № 13. С. 1176—1178.
- [12] Труэлл Р., Эльбаум Ч., Чик Б. Ультразвуковые методы в физике твердого тела.. М., 1972. 307 с.

Харьковский государственный  
университет им. А. М. Горького  
Харьков

Поступило в Редакцию  
29 июня 1988 г.  
В окончательной редакции  
11 августа 1988 г.